

$$r(n) = C_1 P(H_1) \left(\frac{1}{2}\right)^n + n \cdot \Delta \approx 135 \left(\frac{1}{2}\right)^n + n \cdot 5, \quad \text{грн.} \quad (2)$$

Минимум риска достигается при:

$$n = \frac{1}{\ln 2} \ln \frac{C_1 P(H_1) \ln 2}{\Delta} = \frac{1}{\ln 2} \ln(27 \cdot \ln 2) = 4,25 \approx 4 \quad (3)$$

### Библиографический список

1. Николин В.И., Василец А.А. Новый способ прогноза выбросоопасности в месте вскрытия крутых пластов полевыми выработками // Известия Донецкого горного института, 1995. — №1. — 33с.
2. Писчев А.В. Выбор безопасных способов разработки опасных по ГДЯ пластов в конкретных условиях / Способы и средства создания безопасных и здоровых условий труда в угольных шахтах // Сборник научных трудов МакНИИ. — Макеевка-Донбасс, 1998. — С. 135–139.
3. Ехилевский С.Г., Василец А.А. Обоснование объема выборки и критического значения критерия согласия для прогноза выбросоопасности при вскрытии крутых угольных пластов (Ч.1. О выборе уровня значимости при проверке статистических гипотез) // Известия Донецкого горного института, 2000. — №1. — С. 85–88.

© Пак В.В., Ехилевский С.Г., Василец А.А., 2001

УДК 622.24

КАЛИНИЧЕНКО О.И. (ДонГТУ)

## ЭКСПЕРИМЕНТАЛЬНЫЕ ИЗМЕРЕНИЯ ХАРАКТЕРИСТИК ГИДРОУДАРНИКА ПРИ ИЗМЕНЕНИИ СЕЧЕНИЯ ТРУБОПРОВОДА

Несмотря на производственную значительность, вопросы, связанные с оценкой влияния параметров гидросистемы на рабочие характеристики гидроударных машин (ГУ), до сих пор не нашли достаточного объяснения. Апробированные данные о зависимостях частотно-энергетических параметров ГУ от площади сечения подводящего трубопровода ( $f_T$ ) являются не только отрывочными и неполными, но и противоречивыми. С одной стороны, в некоторых исследованиях наблюдается почти полное совпадение расчетных и измеренных зависимостей. С другой стороны, опытные серии натуральных испытаний имеют значительные отклонения от аналитически полученных закономерностей.

В исследованиях Ясова В.Г. [7] делается ссылка на эксперимент, который показал, что характеристика гидроударника Г-5А при использовании бурильной колонны диаметром 50 мм вместо 63,5 мм форсируется по всем показателям. При расходе воды 5 л/с энергия удара возрастает с 75 до 105 Дж, частота возрастает с 1000 до 1100 уд/мин, КПД — с 14 до 17% при росте перепада давления в 1,27 раза.

В Работе Неудачина Г.И. [4] отмечается, что при увеличении сечения трубопровода наблюдается снижение всех параметров ГУ. Авторы не исключают противоречия в предложенном выводе, ссылаясь на неточности расчетных характеристик из-за неучтенных параметров потерь давления на гидравлические сопротивления в гидросистеме при увеличении  $f_T$ .

Бессоновым Ю.Д. и Сириком В.Ф. [1] описаны опыты, подтверждающие, что сечение подводящего трубопровода имеет большое значение для запуска и устойчивой работы ГУ, особенно при малом расходе жидкости ( $Q$ ). Причем, при различных

диаметрах трубопровода, при фиксированном  $Q$  более высокие энергетические показатели ГУ при некотором снижении частоты ударов имеют место при использовании труб большего сечения.

Присутствие в экспериментально-теоретических публикациях взаимоисключающих данных о влиянии  $f_T$  на характеристику механизма не позволяет прийти к каким-либо определенным выводам.

Объяснение отмеченным особенностям влияния  $f_T$  на закономерности работы ГУ следует искать в подходе к описанию главной движущей силы в цилиндре гидроударника.

В распространенных теориях гидроударных машин перемещение бойка обеспечивается, прежде всего, силой давления, возникающего в цилиндре ГУ при отражении от поршня гидроударной волны [7]. В случае  $f_T \rightarrow \infty$ , причем  $f_T \gg f$  ( $f$  — рабочая площадь поршня) параметры гидроударной волны (скорость и давление) стремятся к нулю. Уравнения динамики поршня [5,6,7] при полной компенсации гидроударного давления, т.е. при отсутствии движущей силы в цилиндре ГУ, теряют смысл.

В ДонГУ получила детальное развитие теория, которая основывается на положении, что доминирующей составляющей в цилиндре ГУ является сила, обусловленная дополнительным давлением, определяющимся затратами энергии потока жидкости на перемещение поршня-бойка ГУ ( $P_1$ ) [2,3]. При этом рабочее давление в механизме

( $P_{(t)}$ ) определяется как сумма трех составляющих ( $P_{(t)} = P_1 + P_2 + P_{cy}$ ). ( $P_{cy} = w \left( \frac{Q}{f} - \frac{dx}{dt} \right)$ )

— гидроударное давление в гидросистеме;  $w = k\rho c\mu \frac{f}{f_T}$ ;  $\rho$  — плотность жидкости;  $c$  — скорость распространения гидроударной волны;  $k$  — коэффициент, учитывающий разрежение за поршнем машины при гидроударе;  $\mu$  — коэффициент утечек жидкости;  $\frac{dx}{dt}$  — текущее значение скорости поршня;  $P_2$  — гидравлические сопротивления.

Достаточным основанием для подтверждения отмеченного положения является количественная оценка соотношения ( $P_{(t)} = P_1 + P_2 + P_{cy}$ ) путем обработки опытных данных с выделением значимости составляющих ( $P_{(t)}$ ) в достаточном диапазоне изменения  $Q$  и  $f_T$ .

Объектом исследований являлись натурные образцы авторской конструкции ГУ двойного действия [2,3]. Для отмеченных ГУ количественная оценка дополнительного напора жидкости равна:  $P_1 = \frac{mV_1^2(1-\varphi^2)}{QT} + \frac{2RS}{QT}$ , [2] ( $m$ , — масса бойка;  $R$  — механические сопротивления движению поршня;  $V_1$  — скорость бойка в конце рабочего хода;  $T$  — период цикла работы гидроударника;  $S$  — рабочий ход поршня;  $\varphi$  — коэффициент восстановления скорости бойка при соударении).

Схема лабораторной установки показана на рис.1. В процессе эксперимента стенд гидроударной системы оборудовался оперативно заменяемым нагнетательным трубопроводом 14. По длине трубопровода на входе в гидроударник и вблизи компенсатора насоса устанавливались датчики давления. Гидродвигатель ГУ оснащался датчиками скорости бойка.

Рабочая характеристика гидроударника исследовалась при расходах жидкости от 120 до 240 л/мин с использованием колонн бурильных труб диаметром 42, 50, 73 и 108 мм длиной 46–49 м.

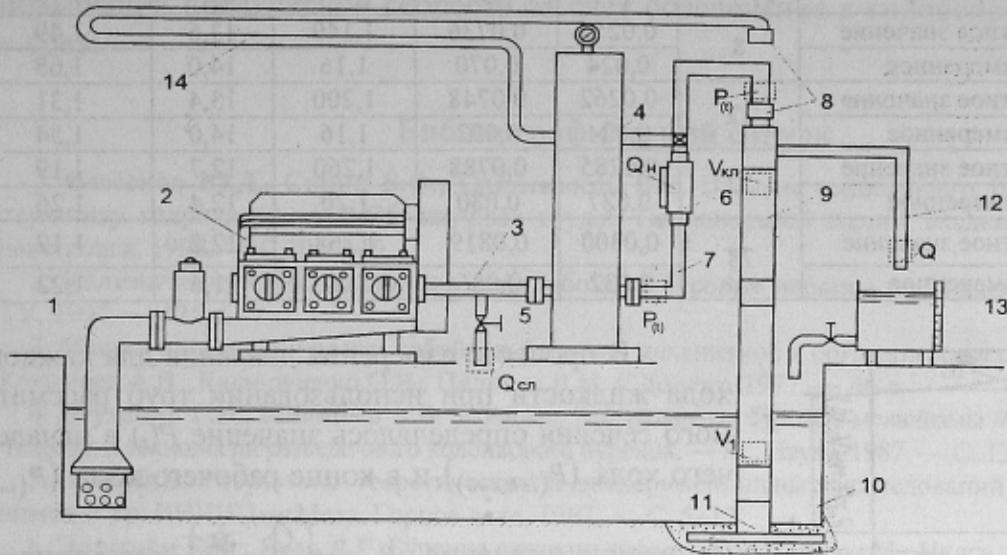


Рис. 1. Схема экспериментального стенда для исследований гидроударных механизмов: 1 — всасывающий коллектор бурового насоса; 2 — буровой насос; 3, 7 — нагнетательный трубопровод; 4 — компенсатор; 5 — дроссель; 6 — датчик расхода жидкости; 8 — накидная гайка; 9 — гидроударник; 10 — емкость; 11 — опорный переходник; 12 — сливная магистраль; 13 — мерная емкость; 14 — сменный нагнетательный трубопровод; □ — место размещения датчиков давления и скорости бойка

Сравнение осциллограмм (рис.2), полученных при исследовании гидроударника с параметрами, приведенными в табл.1, показывает, что выполнение условия  $P(t) \rightarrow \text{const}$  (соответствует увеличению сечения трубопровода) позволяет повысить скорость бойка в конце рабочего хода при одновременном улучшении эксплуатационных условий работы гидросистемы.

Ввиду большой важности зависимостей  $V_1=f(f_T)$   $n=f(f_T)$  для практических задач, связанных с оптимизацией параметров ГУ, выполнены прямые измерения давления в пределах рабочего цикла ГУ ( $P(t)$ ), а также осуществлено сопоставление по

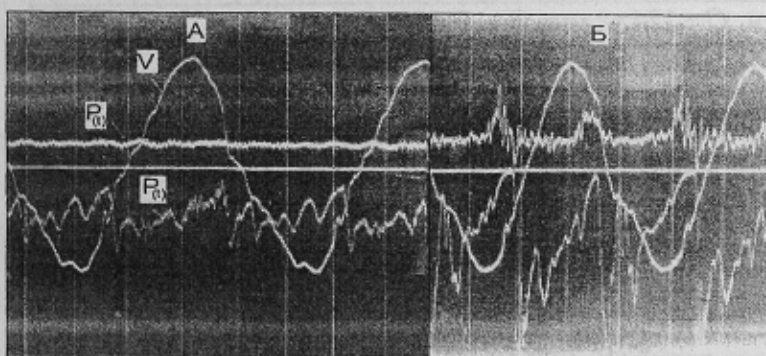


Рис. 2. Осциллограммы скорости бойка ( $V$ ) и рабочего давления в цилиндре ГУ ( $P(t)$ ) при  $Q=168$  л/мин и диаметрах трубопровода: а — 108 мм; б — 42 мм

продолжительности цикла ( $T$ ) и фазы рабочего хода ( $t_1$ ), частоте ударов ( $n$ ) и скорости бойка ( $V_1$ ) для различных  $f_i$  при фиксированных  $Q$  (табл. 1).

Статистическая обработка измеренных в процессе опыта фактических данных показывает, что зависимость скорости и частоты ударов от площади трубопровода аппроксимируется выражениями:

$$V_1 = 1,2788e^{-\frac{2,34}{f_T}}; \quad n = 11,4 + \frac{9,69}{f_T}$$

при коэффициенте корреляции 0,965–0,996.

Табл. 1. Зависимость параметров ГУ двойного действия от площади сечения подводящего трубопровода при исходных данных:  $S = 23\text{мм}$ ;  $m = 64\text{кг}$ ;  $S_2 = 6\text{мм}$ ;  $Q = 174\text{л/мин}$ ;  $f = 23\text{см}^2$

Параметр	$f_r, \text{см}^2$	$t_1, \text{с}$	$T, \text{с}$	$V_1, \text{м/с}$	$n, \text{с}^{-1}$	$P(t), \text{МПа}$
Расчетное значение	8	0,0253	0,0736	1,149	13,6	1,49
Измеренное		0,024	0,070	1,16	14,0	1,68
Расчетное значение	12	0,0262	0,0748	1,200	13,4	1,31
Измеренное		0,024	0,072	1,16	14,0	1,54
Расчетное значение	32	0,0285	0,0788	1,260	12,7	1,19
Измеренное		0,027	0,080	1,20	12,4	1,26
Расчетное значение	78	0,0300	0,0819	1,268	12,2	1,17
Измеренное		0,032	0,086	1,22	11,6	1,22

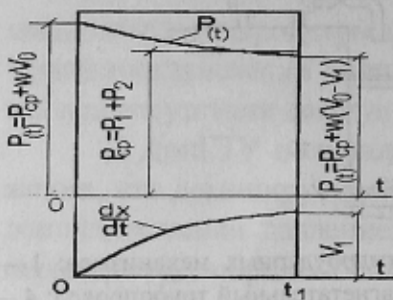


Рис. 3. Схема измерения составляющих давления

В процессе измерения давления для каждого расхода жидкости при использовании труб рассматриваемого сечения определялось значение  $P(t)$  в начале рабочего хода ( $P_{(t=0, x=0)}$ ) и в конце рабочего хода ( $P_{(t=t_1, x=S)}$ ).

Изменение давления  $P_{cy} = w \left( \frac{Q}{f} - \frac{dx}{dt} \right)$  регистрировалось относительно средней величины  $(P_1 + P_2)$  (рис. 3).

В соответствии с полученными фактическими данными (табл.2) увеличение диаметра нагнетательного трубопровода приводит к перераспределению значимости составляющих  $P(t)$ .

Табл. 2. Средние значения серии опытов по измерению составляющих рабочего давления в цилиндре ГУ (в скобках отмечено расчетное значение параметра)

Диаметр трубопровода											
42 мм			50 мм			73 мм			108 мм		
$P_1$	$P_{cy}$	$P(t)$	$P_1$	$P_{cy}$	$P(t)$	$P_1$	$P_{cy}$	$P(t)$	$P_1$	$P_{cy}$	$P(t)$
Расход жидкости, $Q = 168\text{л/мин}$ , $P_2 = 0.610\text{МПа}$											
0,51 (0,43)	0,45 (0,36)	1,57 (1,40)	0,60 (0,47)	0,28 (0,12)	1,19 (1,20)	0,48 (0,45)	0,01 (-0,02)	1,10 (1,04)	0,52 (0,46)	0,01 (-0,02)	1,14 (1,12)
Расход жидкости, $Q = 174\text{л/мин}$ , $P_2 = 0.654\text{МПа}$											
0,51 (0,46)	0,42 (0,35)	1,58 (1,47)	0,60 (0,50)	0,28 (0,11)	1,54 (1,27)	0,50 (0,56)	0,01 (-0,03)	1,16 (1,18)	0,54 (0,56)	0,01 (-0,02)	1,22 (1,19)
Расход жидкости, $Q = 192\text{л/мин}$ , $P_2 = 0.796\text{МПа}$											
0,22 (0,58)	0,36 (0,31)	1,67 (1,69)	0,65 (0,62)	0,29 (0,09)	1,65 (1,50)	0,62 (0,66)	0,05 (-0,03)	1,58 (1,42)	0,66 (0,64)	0,03 (-0,02)	1,56 (1,43)
Расход жидкости, $Q = 240\text{л/мин}$ , $P_2 = 1.24\text{МПа}$											
1,05 (0,94)	0,30 (0,22)	2,60 (2,40)	1,15 (0,97)	0,10 (0,03)	2,48 (2,25)	1,20 (0,96)	0,02 (-0,03)	2,47 (2,17)	1,00 (0,90)	0,04 (-0,01)	2,30 (2,14)

Рассмотрение данных табл.1 и 2 позволяет сделать следующие выводы:

1) Гидроударное давление  $P_{cy}$  практически не определяет величину рабочего давления в цилиндре механизма при значительном увеличении  $f_T$ . Увеличению  $f_T$  соответствует условие  $P(t) \rightarrow \text{const}$  и предполагает равноускоренное движение бойка в пределах рабочего хода с получением прироста скорости в конце рабочего хода при некотором увеличении продолжительности цикла  $T$ .

2) При увеличении площади сечения трубопровода интенсивность изменения параметров ГУ незначительна. За исключением параметра  $n$ , остальные характери-

стики машины увеличиваются. Расчетные данные удовлетворительно согласуются с теоретическими выводами, предложенными в работах ДонГТУ [2,3].

3) Анализ приведенных зависимостей свидетельствует об имеющихся резервах повышения предупредарной скорости за счет обеспечения в гидросистеме условия  $P_{(t)} = \text{const}$ .

### Библиографический список

1. Бессонов Ю.Д., Сирик В.Ф., Слипенький В.С. Влияние подводящего трубопровода на характеристику гидроударника // Сб. научных трудов Национальной горной академии. — № 6. — Днепропетровск, 1998. — С.105–110.
2. Калиниченко О.И., Каракозов А.А. Забойные буровые машины и механизмы. — Донецк: ДонГТУ, 1997. — 125 с.
3. Проектирование и расчет забойных буровых механизмов и погружных насосов / Неудачин Г.И., Коломоец А.В., Калиниченко О.И., Пилипец В.И. // Донецк, 1977. — 46 с.
4. Неудачин Г.И., Коломоец А.В. Забойные гидроударные буровые механизмы // Совершенствование техники и технологии разведочного колонкового бурения. — М.: Наука, 1987. — С. 123–151.
5. Цай В.В. Результаты теоретических и экспериментальных исследований гидроударных механизмов // Тр. ВНИИЦветМета. Горное дело, 1967. — С. 5–12
6. Эпштейн Е.Ф., Ясов В.Г. Бурение скважин гидроударниками. — М.: Недра, 1967. — 160 с.
7. Ясов В.Г. Теория и расчет рабочих процессов гидроударных буровых машин. — М.: Недра, 1977. — 153 с.

© Калиниченко О.И., 2001